

# ПРАКТИЧЕСКАЯ РЕАЛИЗАЦИЯ АЛГОРИТМА ПРОГНОЗИРОВАНИЯ В СТОХАСТИЧЕСКИХ СИСТЕМАХ С ПУАССОНОВСКОЙ СОСТАВЛЯЮЩЕЙ<sup>1</sup>

Аверина Т.А.<sup>\*\*\*</sup>, Рыбаков К.А.<sup>\*\*\*</sup>

<sup>\*</sup>Институт вычислительной математики и математической геофизики СО РАН,

<sup>\*\*</sup>Новосибирский государственный университет,

Новосибирск, Россия, E-mail: ata@osmf.sccc.ru

<sup>\*\*\*</sup>Московский авиационный институт (национальный исследовательский университет),

Москва, Россия, E-mail: rkoffice@mail.ru

На основе предложенного ранее подхода к решению задачи прогнозирования для нелинейных стохастических дифференциальных систем с пуассоновской составляющей в уравнении объекта наблюдения разработан статистический алгоритм и соответствующее программное обеспечение. Алгоритм базируется на методах численного решения стохастических дифференциальных уравнений и методах моделирования неоднородных пуассоновских потоков.

## 1. Введение

В работе [1] рассмотрена задача прогнозирования в нелинейных стохастических дифференциальных системах наблюдения, состоящих из объекта наблюдения и измерительной системы. Возмущения, действующие на объект наблюдения, описываются винеровским и пуассоновским случайными процессами, помехи при измерениях описываются только винеровским случайным процессом. Предложен новый метод решения этой задачи на основе статистического анализа результатов моделирования траекторий объекта наблюдения с дополнительными условиями обрывов и ветвлений.

В настоящей работе этот метод конкретизируется в виде статистического алгоритма, апробация которого проведена на модельном примере. Аналогичные алгоритмы были ранее предложены для стохастических дифференциальных систем без учета пуассоновских возмущений [2].

## 2. Постановка задачи

Рассматривается система наблюдения, задаваемая стохастическими дифференциальными уравнениями в смысле Ито [3, 4]:

$$dX(t) = f(t, X(t))dt + \sigma(t, X(t))dW(t) + dQ(t), \quad X(t_0) = X_0; \quad (1)$$

$$dY(t) = c(t, X(t))dt + \zeta(t)dV(t), \quad Y(t_0) = Y_0 = 0. \quad (2)$$

Первое из них – это уравнение объекта наблюдения,  $X \in \mathbb{R}^n$  – вектор состояния объекта наблюдения, а второе – уравнение измерительной системы,  $Y \in \mathbb{R}^m$  – вектор измерений. Векторные функции  $f(t, x)$ ,  $c(t, x)$  и матричные функции  $\sigma(t, x)$ ,  $\zeta(t)$  соответствующих размерностей заданы, они определяют структуру системы наблюдения;  $W(t)$  и  $V(t)$  –  $s$ -мерный и  $d$ -мерный стандартные винеровские процессы, не зависящие от начального вектора состояния  $X_0$  с заданным распределением;  $Q(t)$  – общий пуассоновский процесс, который характеризует разрывы траекторий случайного процесса  $X(t)$ . Случайный процесс  $Q(t)$  определяется интенсивностью  $\lambda(t) = \lambda(t, X(t))$  и условной плотностью вероятности  $\psi(t, \delta | \xi)$ , описывающей распределение прираще-

---

<sup>1</sup> Работа выполнена при частичной финансовой поддержке гранта РФФИ (проект № 14-01-00787).

ния  $\delta$  вектора состояния в момент разрыва  $t$  при условии  $X(t-0) = \xi$ :  $X(t) = X(t-0) + \delta$ .

Отрезок времени функционирования системы наблюдения задан:  $[t_0, T]$ ; прогноз строится на дополнительном промежутке  $(t, t + \Delta(t)]$ , который для каждого текущего момента времени  $t$  определяется значением  $\Delta(t)$  с учетом условия

$$\max_{t \in [t_0, T]} (t + \Delta(t)) = T + \Delta(T).$$

Уравнение, описывающее измерительную систему, для дальнейшего удобства представим в следующем виде [5]:

$$Z(t) = c(t, X(t)) + \zeta(t)N(t), \quad (3)$$

где  $N(t)$  –  $d$ -мерный стандартный гауссовский белый шум, не зависящий от  $X_0$ .

Задача прогнозирования состоит в нахождении оценки  $\hat{X}(t + \Delta(t))$  по результатам всех имеющихся к текущему моменту времени измерений  $Y_0^t = \{Y(\tau), \tau \in [t_0, t]\}$  или  $Z_0^t = \{Z(\tau), \tau \in [t_0, t]\}$ .

Можно рассматривать различные варианты задачи прогнозирования:

- а) прогнозирование с фиксированным предупреждением, т.е.  $\Delta(t) = \Delta = \text{const}$ ;
- б) прогнозирование в фиксированный момент времени  $T' \geq T$ , т.е.  $\Delta(t) = T' - t$ .

Если накладывать условие минимальности среднеквадратического отклонения ошибки оценивания, то решение этой задачи хорошо известно [4]:

$$\hat{X}(t + \Delta(t)) = \mathbb{M} \left[ X(t + \Delta(t)) \mid Y_0^t \right] = \int_{R^n} x p(t + \Delta(t), x \mid Y_0^t) dx,$$

где  $p(t + \Delta(t), x \mid Y_0^t)$  – апостериорная плотность вероятности прогноза вектора состояния  $X$ , т.е. оптимальная оценка представляет собой апостериорное математическое ожидание вектора состояния объекта наблюдения. Однако практическая реализация нахождения этой оценки в нелинейном случае затруднительна. Исходя из этого, актуальность разработки новых эффективных алгоритмов прогнозирования не вызывает сомнений.

### 3. Статистический алгоритм решения задачи прогнозирования

Как упоминалось во введении, в работе [1] описан метод решения сформулированной выше задачи прогнозирования с помощью моделирования траекторий вспомогательного случайного процесса. Траектории этого случайного процесса могут иметь разрывы (согласно исходной постановке задачи), а также обрывы и ветвления.

Напомним [1], что решение задачи прогнозирования состоит из двух этапов: фильтрации (от начального и до текущего момента времени) и собственно прогнозирования (от текущего до некоторого будущего момента времени). С течением времени прогноз необходимо обновлять.

На каждом из этапов необходимо моделировать траектории случайного процесса согласно уравнению объекта наблюдения (1), используя какой-либо подходящий метод приближенного решения стохастических дифференциальных уравнений с пуассоновской составляющей. Такие методы рассмотрены, например, в работах [6–8]. Измерения  $Y_0^t$  или  $Z_0^t$ , однозначно связанные между собой, дополнительно учитываются только на этапе фильтрации, от этих измерений зависит распределение моментов времени обрывов и ветвлений траекторий. Распределение моментов времени разрывов траекторий полностью определяется интенсивностью  $\lambda(t, x)$ , а распределение моментов времени обрывов и ветвлений задается функцией  $\mu(t, x, z)$  [2, 9, 10]:

$$\mu(t, x, z) = \sum_{k=1}^m \sum_{r=1}^m c_k(t, x) q_{kr}(t) \left( z_r - \frac{c_r(t, x)}{2} \right), \quad q(t) = (\zeta(t) \zeta^T(t))^{-1}.$$

Если значение этой функции отрицательно, то интенсивность обрывов равна  $\mu^-(t) = -\mu(t, X(t), Z(t))$ , а если ее значение положительно, то интенсивность ветвлений равна  $\mu^+(t) = \mu(t, X(t), Z(t))$ . Формально интенсивности обрывов и ветвлений можно ввести следующим образом:

$$\mu^-(t, x, z) = \begin{cases} -\mu(t, x, z), & \mu(t, x, z) < 0, \\ 0, & \mu(t, x, z) \geq 0, \end{cases} \quad \mu^+(t, x, z) = \begin{cases} \mu(t, x, z), & \mu(t, x, z) > 0, \\ 0, & \mu(t, x, z) \leq 0. \end{cases}$$

Вспомогательный случайный процесс  $X(t)$  характеризуется:

- а) коэффициентами сноса  $f(t, x)$  и диффузии  $\sigma(t, x)$ ;
- б) интенсивностью  $\lambda(t, x)$  появления разрывов и законом распределения приращения вектора состояния при разрыве, задаваемом условной плотностью вероятности  $\psi(t, \delta | \xi)$ ;
- в) интенсивностями появления обрывов  $\mu^-(t, x, z)$  и ветвлений  $\mu^+(t, x, z)$  (только на этапе фильтрации).

Дополнительно определим интенсивность композиции двух пуассоновских потоков: потока разрывов траекторий, а также потока обрывов и ветвлений траекторий. Его интенсивность задается формулой

$$\Lambda(t, x, z) = \lambda(t, x) + |\mu(t, x, z)|. \quad (4)$$

По этим данным можно моделировать траектории вспомогательного случайного процесса  $X(t)$  (все ветви для удобства рассматриваются как отдельные траектории), а по ним, в свою очередь, можно оценить среднее значение, т.е. искомую оценку вектора состояния, ковариационную матрицу ошибки оценивания, моментные характеристики более высокого порядка. По ним можно также оценить апостериорные плотность вероятности и функцию распределения, что важно для нелинейных моделей стохастических систем наблюдения, для которых оценка вектора состояния по критерию минимума среднеквадратического отклонения может оказаться неудачной.

Без учета обрывов и ветвлений траекторий такой метод не будет отличаться от решения задачи анализа стохастической системы с пуассоновской составляющей [6–8], задаваемой уравнением (1). При статистической обработке результатов моделирования можно получать априорные оценки плотности вероятности, функции распределения и моментных характеристик. Учет обрывов и ветвлений обеспечивает получение апостериорных оценок плотности вероятности и функции распределения, условных моментных характеристик при наличии измерений  $Y_0^t$  или  $Z_0^t$ .

Далее приведем вариант алгоритма решения задачи прогнозирования и результаты его апробации для модельного примера. Алгоритм построен на основе:

- а) стохастического метода Эйлера [5] для приближенного решения стохастических дифференциальных уравнений;
- б) метода «максимального сечения» для моделирования пуассоновских потоков [11, 12] в предположении, что между узлами сетки может быть не более одной точки пуассоновского потока интенсивности (4).

### Алгоритм решения задачи прогнозирования

**Шаг 1.** Задать  $M$  – начальное число моделируемых траекторий вспомогательного случайного процесса;  $h$  – шаг численного интегрирования; величину  $\Lambda^*$  – мажоранту для интенсивности  $\Lambda(t, x, z)$ , которую можно оценить, например, по результатам пробного моделирования траекторий системы наблюдения, заданной уравнениями (1) и (3):

$$\Lambda^* = \max_{t_k \in [t_0, T], i=1, 2, \dots, M} \Lambda(t_k, X_k^i, Z_k^i),$$

где максимум берется по всем значениям вектора состояния  $X_k^i$  и соответствующего ему вектора измерений  $Z_k^i$  в узлах сетки  $\{t_k = t_0 + kh\}$  по  $M$  смоделированным траекториям.

Получить реализации начальных векторов состояний  $X_0$  и  $X_0^i$  с учетом заданного распределения ( $X_0$  – начальный вектор состояния для оцениваемой траектории,  $X_0^i$  – для вспомогательных траекторий, по которым приближенно вычисляется оптимальная оценка) и моменты времени  $\xi^i$ , через которые могут произойти разрывы, обрывы или ветвления траекторий:  $\xi^i = -\ln \beta / \Lambda^*$ ,  $i = 1, 2, \dots, M$ . В последнем соотношении  $\beta$  – различные реализации случайной величины, равномерно распределенной на интервале  $(0, 1)$ .

Положить  $Y_0 = 0$ ,  $k = 0$ ,  $t_*^i = t_0$ ,  $F_0^i = 1$  (индикатор, показывающий при  $F_k^i = 1$ , что траектория с номером  $i$  не оборвалась к моменту времени  $t_k$ ),  $i = 1, 2, \dots, M$ .

Шаг 2. Положить  $\kappa = k$ ,  $\tau_*^i = t_*^i$ ,  $\xi_*^i = \xi^i$  (запомнить параметры и текущее время),  $i = 1, 2, \dots, M$ . Далее положить  $i = 1$ ,  $j = 0$  ( $j$  содержит число новых ветвей на шаге  $k$ ),  $\Xi = 1$  (этап прогнозирования).

Шаг 3. Проверить условие  $t_{\kappa} + \Delta(t_{\kappa}) - t_k > 0$ . При выполнении этого условия перейти к шагу 4. Иначе положить

$$M_{\kappa} = \sum_{i=1}^M F_{\kappa}^i \quad (M_0 = M)$$

и найти прогноз  $\hat{X}_{\kappa}$  как выборочное среднее реализаций  $\mathbb{X}_{\kappa} = \{X_k^i\}_{i=1,2,\dots,M; F_k^i=1}$ :

$$\hat{X}_{\kappa} = \frac{1}{M_{\kappa}} \sum_{i=1,2,\dots,M; F_k^i=1} X_k^i.$$

Проверить условие  $T - t_{\kappa} = 0$ . При выполнении этого условия завершить процесс, иначе положить  $k = \kappa$ ,  $t_*^i = \tau_*^i$ ,  $\xi_*^i = \xi_*^i$  (восстановить параметры и текущее время),  $i = 1, 2, \dots, M$ , затем положить  $i = 1$ ,  $\Xi = 0$  (этап фильтрации).

Получить реализацию вектора состояния, для которого проводится оценивание, в следующем узле сетки  $\{t_k\}$ :

$$X_{k+1} = X_k + h f(t_k, X_k) + \sqrt{h} \sigma(t_k, X_k) \Delta W,$$

и векторы измерений:

$$Z_k = c(t_k, X_k) + \frac{\zeta(t_k)}{\sqrt{h}} \Delta V, \quad Y_{k+1} = Y_k + h Z_k.$$

В этих формулах и далее  $\Delta W$  и  $\Delta V$  – реализации  $s$ -мерного и  $d$ -мерного случайных векторов соответственно. Их координаты независимы и имеют нормальное распределение со стандартными параметрами.

Шаг 4. Проверить условие  $F_{\kappa}^i = 0$  (траектория с номером  $i$  оборвана). При выполнении этого условия перейти к шагу 9, иначе: при  $t_*^i + \xi_*^i \geq t_k + h$  перейти к шагу 5, а при  $t_*^i + \xi_*^i < t_k + h$  – к шагу 6.

Шаг 5. Получить реализацию вектора состояния в следующем узле сетки  $\{t_k\}$ :

$$X_{k+1}^i = X_k^i + h f(t_k, X_k^i) + \sqrt{h} \sigma(t_k, X_k^i) \Delta W.$$

Положить  $F_{k+1}^i = 1$  (если  $\Xi = 0$ ) и перейти к шагу 9.

Шаг 6. Получить реализацию вектора состояния в дополнительном узле сетки:

$$\tilde{X} = X_k^i + h_{\triangleleft} f(t_k, X_k^i) + \sqrt{h_{\triangleleft}} \sigma(t_k, X_k^i) \Delta W, \quad h_{\triangleleft} = t_*^i + \xi_*^i - t_k.$$

Получить реализацию  $\alpha$  случайной величины, равномерно распределенной на интервале  $(0,1)$ . Проверить условие  $\alpha \leq |\Lambda(t_*^i + \xi^i)| / \Lambda^*$ , где  $\Lambda(t_*^i + \xi^i) = \Lambda(t_*^i + \xi^i, \tilde{X}, Z_k)$ , и при выполнении этого условия перейти к шагу 7, иначе – к шагу 8.

**Шаг 7.** Получить реализацию  $\gamma$  случайной величины, равномерно распределенной на интервале  $(0,1)$ , и проверить условия:

а) если  $\lambda(t_*^i + \xi^i) / \Lambda(t_*^i + \xi^i) \leq \gamma$  (разрыв траектории), то получить приращение вектора состояния  $\delta$ , распределенное согласно заданной плотности вероятности  $\psi(t_*^i + \xi^i, \delta | \tilde{X})$ , положить  $\tilde{X} = \tilde{X} + \delta$ ;

б) если  $\Xi = 0$ ,  $\lambda(t_*^i + \xi^i) / \Lambda(t_*^i + \xi^i) > \gamma$  и  $\mu^-(t_*^i + \xi^i, \tilde{X}, Z_k) > 0$  (обрыв траектории), то положить  $F_{k+1}^i = 0$  ( $F_r^i = 0$ ,  $r > k$ ) и перейти к шагу 9;

в) если  $\Xi = 0$ ,  $\lambda(t_*^i + \xi^i) / \Lambda(t_*^i + \xi^i) > \gamma$  и  $\mu^+(t_*^i + \xi^i, \tilde{X}, Z_k) > 0$  (ветвление траектории), то положить  $j = j + 1$  и получить реализацию вектора состояния в следующем узле сетки  $\{t_k\}$  для новой траектории:

$$X_{k+1}^{M+j} = \tilde{X} + h_{\triangleright} f(t_k + h_{\triangleleft}, \tilde{X}) + \sqrt{h_{\triangleright}} \sigma(t_k + h_{\triangleleft}, \tilde{X}) \Delta W, \quad h_{\triangleright} = h - h_{\triangleleft} = t_k + h - t_*^i - \xi^i.$$

Положить  $F_{k+1}^{M+j} = 1$  ( $F_r^{M+j} = 0$ ,  $r \leq k$ ),  $t_*^{M+j} = t_*^i + \xi^i$  и получить реализацию длины промежутка времени, через который может произойти разрыв, обрыв или ветвление новой траектории с номером  $M + j$ :  $\xi^{M+j} = -\ln \beta / \Lambda^*$ . Моделирование величины  $\xi^{M+j}$  проводится до тех пор, пока  $t_*^{M+j} + \xi^{M+j}$  не окажется больше или равно  $t_{k+1}$ .

**Шаг 8.** Получить реализацию вектора состояния в следующем узле сетки  $\{t_k\}$ :

$$X_{k+1}^i = \tilde{X} + h_{\triangleright} f(t_k + h_{\triangleleft}, \tilde{X}) + \sqrt{h_{\triangleright}} \sigma(t_k + h_{\triangleleft}, \tilde{X}) \Delta W, \quad h_{\triangleright} = h - h_{\triangleleft}.$$

Положить  $F_{k+1}^i = 1$ ,  $t_*^i = t_*^i + \xi^i$  и получить новую реализацию для длины промежутка времени, через который может произойти разрыв, обрыв или ветвление траектории с номером  $i$ :  $\xi^i = -\ln \beta / \Lambda^*$ . Моделирование величины  $\xi^i$  проводится до тех пор, пока  $t_*^i + \xi^i$  не окажется больше или равно  $t_{k+1}$ .

**Шаг 9.** Проверить условия:

а) если  $i = M$ , то положить  $M = M + j$ ,  $t_{k+1} = t_k + h$ ,  $k = k + 1$  и перейти к шагу 3 при  $\Xi = 1$  или к шагу 2 при  $\Xi = 0$ ;

б) если  $i < M$ , то положить  $i = i + 1$  и перейти к шагу 4.

В приведенном алгоритме предполагается, что на промежутке времени, определяемом шагом численного интегрирования  $h$ , может произойти только один разрыв, обрыв или ветвление для каждой траектории (чтобы это выполнялось, рекомендуется выбирать шаг из условия  $h < 0.1 / \Lambda^*$ ). Если это не так, то пуассоновский поток моделируется неточно. Можно предложить точный алгоритм моделирования, как это сделано для стохастических дифференциальных систем без учета пуассоновских возмущений [2]. Тем не менее, для многих задач такой упрощенный подход к моделированию пуассоновского потока оказывается приемлемым по точности, что ниже демонстрируется на модельном примере.

## 4. Численные расчеты

Пусть линейная система наблюдения описывается уравнениями

$$dX(t) = -\sin 5t X(t) dt + dW(t) + dQ(t), \quad X(0) = X_0;$$

$$dY(t) = 0.2X(t) dt + dV(t), \quad Y(0) = 0,$$

где  $t \in [0,1]$ ,  $X, Y \in \mathbb{R}$ ;  $W(t)$  и  $V(t)$  – одномерные стандартные винеровские процессы, не зависящие от случайной величины  $X_0$ , распределенной по нормальному закону с математическим ожиданием 1 и дисперсией 0.01.

Величина приращения  $\delta$  при разрыве траектории имеет нормальное распределение. Ее математическое ожидание равно  $-1$ , а дисперсия составляет 0.01. Интенсивность разрывов  $\lambda = 1$ . Прогнозирование осуществляется для фиксированного момента времени  $T = 1$ , т.е.  $\Delta(t) = 1 - t$ .

На рис. 1 приведены результаты моделирования линейной системы наблюдения и прогнозирования с применением стохастического метода Эйлера с шагом интегрирования  $h = 0.001$  и начальным числом траекторий вспомогательного случайного процесса  $M = 10000$ . Используются следующие обозначения: толстой линией показана оцениваемая траектория  $X(t)$ , пунктиром показаны измерения  $Y(t)$ , тонкая линия используется для прогноза, полученного с помощью моделирования траекторий вспомогательного случайного процесса с разрывами, обрывами и ветвлениями, а точками показан прогноз, полученный с помощью предиктора Калмана–Бьюси. Приведенные графики демонстрируют, каким образом уточняется прогноз в фиксированный момент времени  $T = 1$  в зависимости от текущего времени  $t$  (уточнение прогноза в динамике). Рис. 2 содержит те же графики, но в другом масштабе для большей наглядности результатов моделирования.

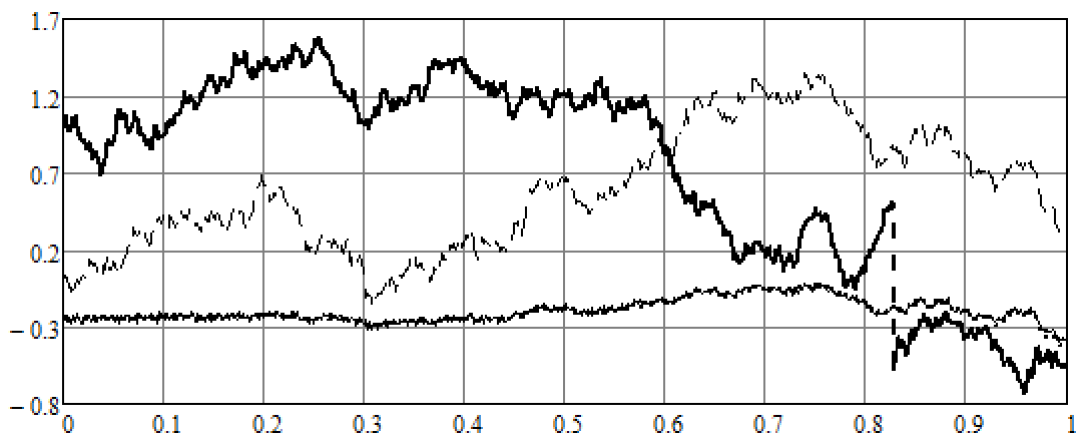


Рис. 1. Пример моделирования системы наблюдения и результаты прогнозирования

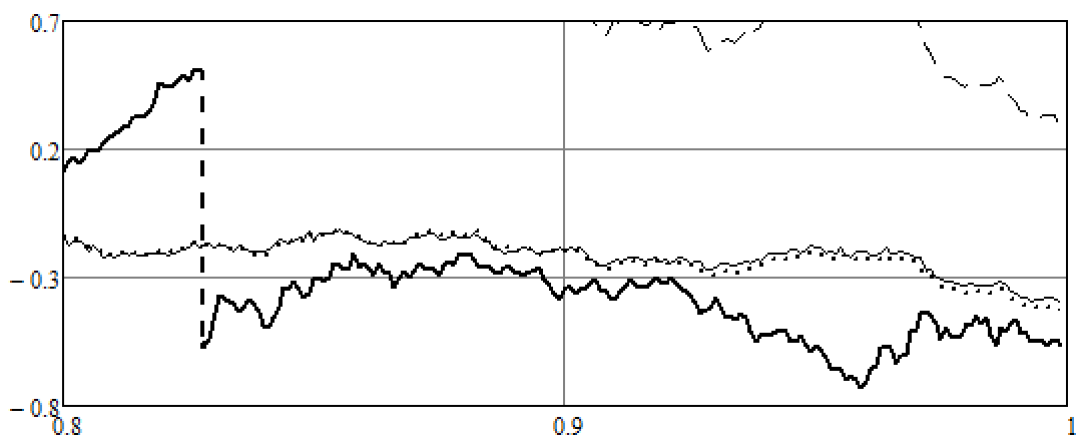


Рис. 2. Пример моделирования системы наблюдения и результаты прогнозирования (фрагмент)

На рис. 3 график зависимости числа траекторий вспомогательного случайного процесса с разрывами, обрывами и ветвлениями от времени показан с помощью толстой линии, точками показано число обрывов, а тонкой линией – число ветвлений.

Объем выборки  $\mathbb{X}_k$  менялся в пределах от 9352 до 10372 при моделировании траекторий.

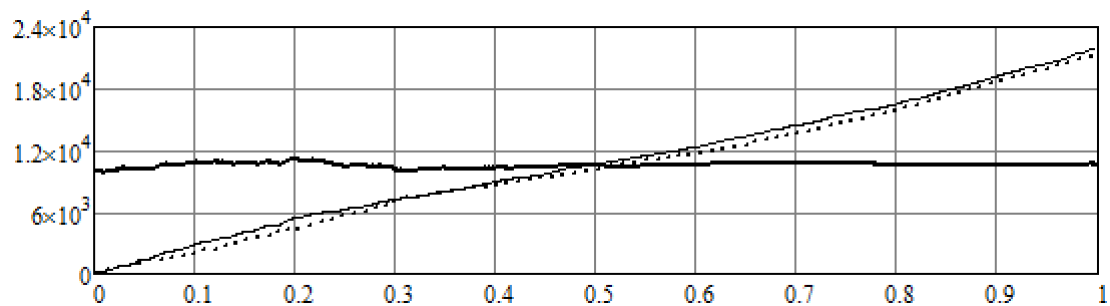


Рис. 3. Число траекторий вспомогательного случайного процесса, обрывов и ветвлений

Далее изменим коэффициенты сноса в уравнениях объекта наблюдения и измерительной системы и рассмотрим нелинейную систему наблюдения:

$$dX(t) = -\sin 5t \cos^2 3X(t)dt + dW(t) + dQ(t),$$

$$dY(t) = 0.2 \cos X(t)dt + dV(t),$$

оставив остальные условия без изменений.

На рис. 4 приведены результаты моделирования нелинейной системы наблюдения и прогнозирования с применением стохастического метода Эйлера с шагом интегрирования  $h = 0.001$  и начальным числом траекторий вспомогательного случайного процесса  $M = 10000$ . Предиктор Калмана–Бьюси применялся для соответствующих линеаризованных уравнений. Рис. 5 содержит графики зависимости числа траекторий вспомогательного случайного процесса с разрывами, обрывами и ветвлениями от времени, число обрывов и ветвлений. Обозначения такие же, как и ранее. Объем выборки  $\mathbb{X}_k$  менялся в пределах от 9299 до 10653 при моделировании траекторий.

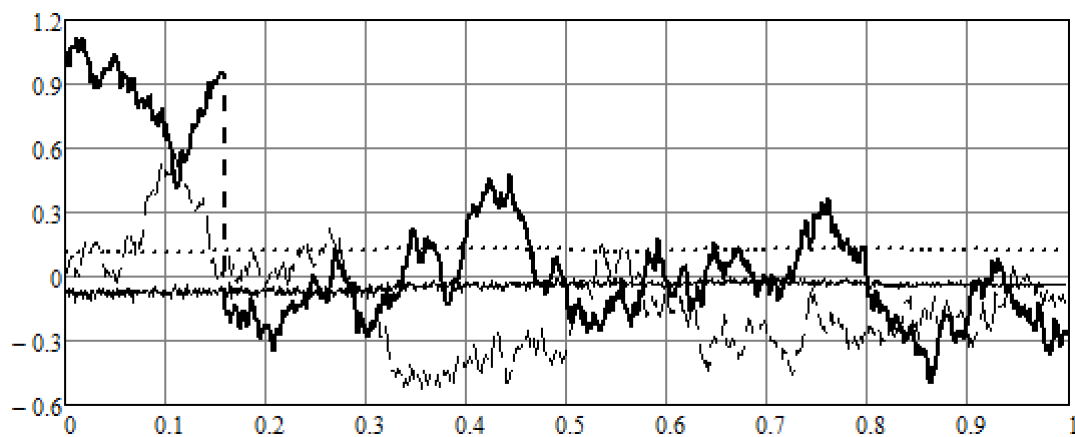


Рис. 4. Пример моделирования системы наблюдения и результаты прогнозирования

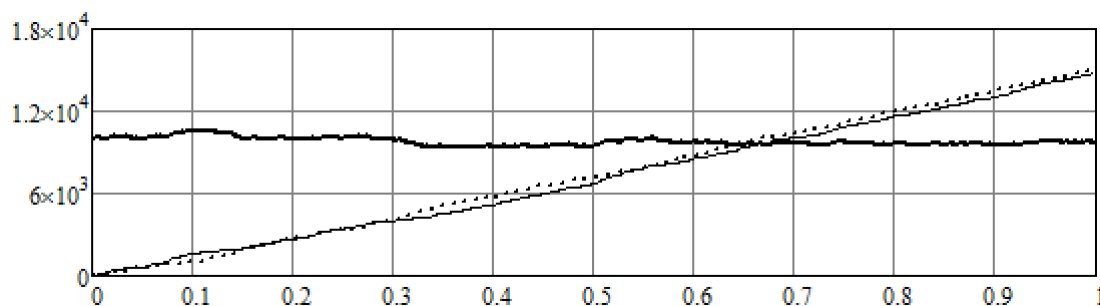


Рис. 5. Число траекторий вспомогательного случайного процесса, обрывов и ветвлений

Разработанный статистический алгоритм рекомендуется для решения задачи прогнозирования в нелинейных стохастических дифференциальных системах с пуассоновской составляющей. Использование метода «максимального сечения» для моделирования пуассоновских потоков в предположении, что между узлами сетки может быть не более одной точки пуассоновского потока интенсивности (4), сделало алгоритм более простым, позволило уменьшить вычислительные затраты и повысить эффективность алгоритма. Такое предположение не является ограничительным, если шаг сетки согласован с интенсивностью пуассоновских потоков. Проведенные численные расчеты демонстрируют высокую точность прогноза вектора состояния и преимущества данного метода на нелинейных системах.

## Литература

1. Аверина Т.А., Рыбаков К.А. О прогнозировании состояний стохастических дифференциальных систем с пуассоновской составляющей // Проблемы оптимизации сложных систем. XI Международная Азиатская школа-семинар, Чолпон-Ата, 27 июля – 7 августа 2015 г.: Тр. конф. Ч. 1. – 2015. – С. 16–24.
2. Рыбаков К.А. Алгоритмы прогнозирования состояний в стохастических дифференциальных системах на основе моделирования специального ветвящегося процесса // Дифференциальные уравнения и процессы управления. – 2015. № 1. – С. 25–38.
3. Пугачев В.С., Сеницын И.Н. Стохастические дифференциальные системы. Анализ и фильтрация. – М.: Наука, 1990.
4. Сеницын И.Н. Фильтры Калмана и Пугачева. – М.: Логос, 2007.
5. Семенов В.В., Пантелеев А.В., Руденко Е.А., Бортаковский А.С. Методы описания, анализа и синтеза нелинейных систем управления. – М.: Изд-во МАИ, 1993.
6. Аверина Т.А. Методы статистического моделирования неоднородного пуассоновского ансамбля // Сибирский журнал вычислительной математики. – 2009. Т. 12. № 4. – С. 361–374.
7. Аверина Т.А., Рыбаков К.А. Два метода анализа стохастических систем с пуассоновской составляющей // Дифференциальные уравнения и процессы управления. – 2013. № 3. – С. 85–116.
8. Platen E., Bruti-Liberati N. Numerical Solution of Stochastic Differential Equations with Jumps in Finance. – Springer, 2010.
9. Рыбаков К.А. Модифицированный алгоритм оптимальной фильтрации сигналов на основе моделирования специального ветвящегося процесса // Авиакосмическое приборостроение. – 2013. № 3. – С. 15–20.
10. Рыбаков К.А. Приближенный метод фильтрации сигналов в стохастических системах диффузионно-скачкообразного типа // Научный вестник МГТУ ГА. – 2014. № 207. – С. 54–60.
11. Михайлов Г.А. Метод моделирования длины свободного пробега частиц // Атомная энергия. – 1970. Т. 28. № 2. – С. 175.
12. Аверина Т.А. Использование модификаций метода максимального сечения для моделирования систем со случайной структурой с распределенными переходами // Сибирский журнал вычислительной математики. – 2016. Т. 19. № 3. – С. 235–247.